

УДК 539.534, 539.194

# Эффект Дике, столкновительное сужение и интерференция при самоуширении линий поглощения CO<sub>2</sub> в полосе 30013 ← 00001. Измерения и тестирование моделей контура

В.А. Капитанов<sup>1</sup>, К.Ю. Осипов<sup>1</sup>, А.Е. Протасевич<sup>1</sup>,  
Ю.Н. Пономарев<sup>1</sup>, Я.Я. Понуровский<sup>2\*</sup>

<sup>1</sup>Институт оптики атмосферы им. В.Е. Зуева СО РАН  
634055, г. Томск, пл. Академика Зуева, 1

<sup>2</sup>Институт общей физики им. А.М. Прохорова РАН  
119991 ГСП-1, г. Москва, ул. Вавилова, 38

Поступила в редакцию 26.03.2021 г.

Представлены результаты экспериментальных исследований самоуширения и сдвига шести изолированных линий поглощения CO<sub>2</sub> в зависимости от давления в районе 1,6 мкм при комнатной температуре. Измерения проведены на высокочувствительном диодном лазерном спектрометре высокого разрешения с отношением сигнал-шум от 3000 до 7000. Для описания экспериментальных спектров использовалось пять теоретических моделей контуров: VP, RP, qSDRP, qSDVP, qSDVP + LM. Обнаружены сильное влияние слабых близкорасположенных линий на восстанавливаемые параметры (интенсивность и коэффициент столкновительного уширения) сильных линий и нелинейный характер зависимости параметра сужения от давления при использовании контуров RP и qSDRP. Показана линейная зависимость восстанавливаемых параметров контура qSDVP + LM от давления в диапазоне от 0,001 до 1 атм.

**Ключевые слова:** лазерный спектрометр, модели контура спектральных линий поглощения, зависимость от давления, молекула CO<sub>2</sub>; laser spectrometer, absorption line profile, pressure dependence, CO<sub>2</sub> molecule.

## Введение

В последнее время произошло значительное улучшение техники экспериментальной спектроскопии, были разработаны новые, более чувствительные методы регистрации спектров. В результате повышенено отношение сигнал-шум и разрешение при регистрации экспериментальных спектров. Для решения ряда прикладных задач, таких как расчет пропускания атмосферы, мониторинг атмосферных газов спектроскопическими методами, требуются все более точные данные о параметрах линий поглощения (положения центров, интенсивности, коэффициенты уширения и сдвига). Как показано во многочисленных работах, описание экспериментальных спектров контуром Фойгта (VP) и полученные при этом параметры уже не удовлетворяют по точности поставленным задачам: использование указанного контура приводит к систематическим ошибкам при определении интенсивностей линий, положения центра при нулевом давлении, столкновительных полуширинах, сдвигов [1].

В настоящее время для описания экспериментальных спектров используются более сложные модели контуров линий: Раутиана–Собельмана (RP), зависящего от давления Фойгта (qSDVP), зависящего от скорости Раутиана–Собельмана, а также Артмана–Трана (HTP), учитывающего интерференцию спектральных линий. Тестированию этих моделей при описании спектров поглощения основных атмосферных газов посвящено большое количество работ, обзор которых можно найти в [2, 3]. Теоретическое описание контуров получено для отдельной изолированной линии, а возросшее отношение сигнал-шум позволяет регистрировать очень слабые линии, и сильные (тестируемые) линии уже нельзя считать изолированными. Наличие слабых линий существенно влияет на значения восстановленных параметров сильных линий.

Цель настоящей работы – провести тестирование наиболее широко используемых моделей контуров при описании самоуширения линий поглощения R12–R22 (полоса 30013 ← 00001) CO<sub>2</sub> в диапазоне давлений 0,001–1 атм. Выбор молекулы CO<sub>2</sub> для тестирования обусловлен следующими причинами. Во-первых, эта молекула играет критическую роль в формировании радиационного баланса и климата Земли, ее спектр хорошо изучен. Во-вторых, CO<sub>2</sub> – линейная молекула, не имеет дипольного момента,

\* Венедикт Андреевич Капитанов (venedikt@iao.ru); Константин Юрьевич Осипов (osipov@iao.ru); Александр Евгеньевич Протасевич (a.e.protasevich@iao.ru); Юрий Николаевич Пономарев (yupron@iao.ru); Яков Яковлевич Понуровский (jakov@nsc.gpi.ru).

и при низком давлении спектральные линии хорошо разрешены. Для достижения поставленной цели было необходимо решить следующие задачи.

1. Измерить спектры поглощения  $\text{CO}_2$  в диапазоне давлений от 0,001 до 1 атм с высоким отношением сигнал-шум ( $S/N > 2000$ ).

2. Изучить влияние слабых и сильных близко расположенных линий на восстановленные параметры исследуемых линий поглощения.

3. Проанализировать зависимости параметров модели от давления.

4. Оценить адекватность используемых моделей, учитывая линейность зависимостей параметров модели от давления (приближение бинарных столкновений), величину и форму разности между экспериментальным и модельным спектрами (residual).

## Эксперимент

Экспериментальные измерения спектров чистого  $\text{CO}_2$  при комнатной температуре в широком диапазоне давлений (до 1 атм) были проведены в отделе диодной лазерной спектроскопии Института общей физики им. А.М. Прохорова РАН. Экспериментальная установка (рис. 1) включает в себя двухканальный диодный лазерный спектрометр высокого разрешения и вакуумную систему для приготовления газовых смесей.

Основу измерительного комплекса составляют: DFB-лазер фирмы NEL с длиной волны излучения  $\lambda = 1,6 \text{ мкм}$  и два оптических канала — измерительный и реперный. В реперном канале находится ячейка с исследуемым газом ( $\text{CO}_2$ ) при низком давлении для дополнительной стабилизации и калибровки длины волны по максимуму линии поглощения  $\text{CO}_2$ . Управление накачкой и перестройка длины волны излучения DFB-лазера обеспечиваются периодиче-

скими импульсами тока трапециевидной формы с частотой повторений 250 Гц и длительностью импульса 3 мс. Длина волны диодного лазера в каждом импульсе перестраивается в диапазоне 1,2–1,5 см<sup>-1</sup> в зависимости от «угла наклона» изменения тока накачки лазера. Температура кристалла лазера стабилизируется с ошибкой  $2 \cdot 10^{-4} \text{ }^{\circ}\text{C}$  при изменении температуры от 0 до 55 °C. При средней величине тока накачки  $\approx 60 \text{ мА}$  мощность лазера не превышает 15 мВт, полуширина линии генерации  $\approx 5 \text{ МГц}$  ( $0,00016 \text{ см}^{-1}$ ).

Перед началом эксперимента на прогретой и подготовленной установке аналитическая кювета замещалась на своем месте конфокальным интерферометром Фабри–Перо со свободным спектральным диапазоном, равным 0,04933 см<sup>-1</sup>, для линеаризации относительной шкалы длин волн путем записи пиков пропускания интерферометром. Излучение диодного лазера поступало на разделитель пучка, где распределялось между реперной и аналитической кюветами в соотношении 1 : 9 (рис. 1). Интенсивность лазерного излучения на выходе измерительных ячеек регистрировалась с помощью Hamamatsu InGaAs-фотодетекторов с активным элементом диаметром 2 мм и обнаружительной способностью  $D^* = 5 \cdot 10^{12} \text{ см} \cdot \text{Гц}^{1/2} \cdot \text{Вт}^{-1}$ . Коэффициент преобразования предусилителей фотоприемников — 10 В/мА; полоса пропускания — 120 кГц. Чистый  $\text{CO}_2$  предварительно осушался в азотной криогенной ловушке на входе в вакуумную систему. Затем газ напускался до необходимого давления в аналитическую кювету (диаметром 30 мм и длиной 199,8 ± 0,2 см). Давление газа в системе в диапазоне 0–10 кПа измерялось с помощью датчика «Sensor» (погрешность = 0,1%), а в диапазоне 0–100 кПа — датчиком «Элемер» АИР-20/М2 (погрешность 0,2%). Сигнал давления также регистрировался системой сбора данных.

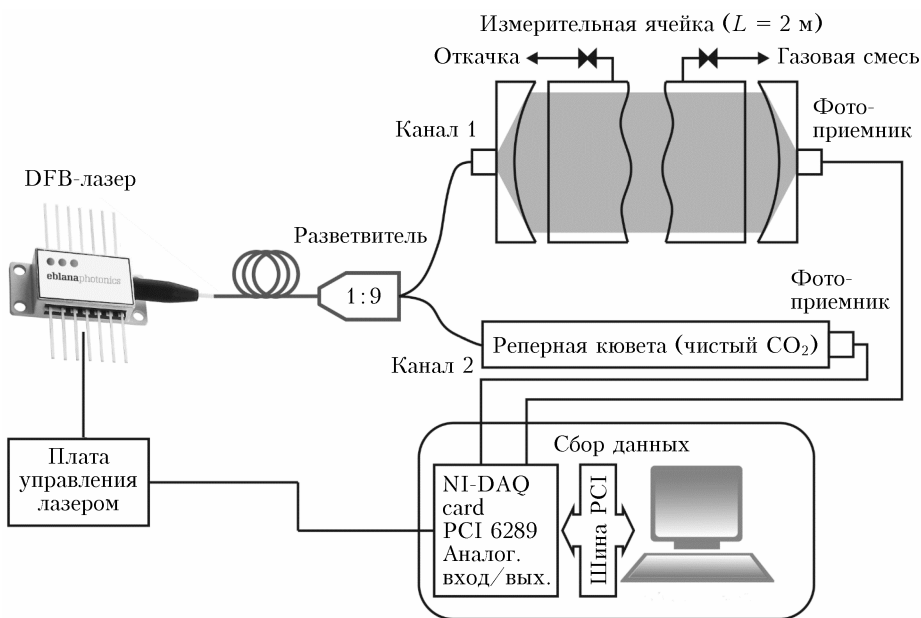


Рис. 1. Схема экспериментальной установки

## Модели формы контура спектральной линии и их параметры

Математическое описание полной модели НТР + LM (line mixing – интерференция линий) получено А.Е. Протасевичем; совместно с К.Ю. Осиповым реализованы алгоритм и программа обработки экспериментальных данных в среде LabView, позволяющая производить одновременный анализ до 10 линий поглощения.

В качестве контура спектральной линии взята современная модель формы контура НТР [3], обобщающая в себе множество non-Voigt эффектов, в которой параметр корреляции  $\eta$  между изменениями скоростей молекул, вызванными столкновениями, и изменениями вращательных состояний, полагался равным нулю. В этом случае при использовании первого порядка приближения для учета интерференции спектральных линий [4] модельный контур можно представить в виде

$$I(\omega) = \frac{1}{\pi} \operatorname{Re} \left( (1+iY) \frac{A(\omega)}{1-v_{VC}A(\omega)} \right),$$

где

$$\begin{aligned} \frac{1}{\pi} A(\omega) &= \frac{c}{\sqrt{\pi}\omega_0\tilde{v}} (w(iZ_1) - w(iZ_2)), \\ Z_1 &= \sqrt{\frac{-i(\omega - \omega_0) + \Gamma_0 + i\Delta_0}{\Gamma_2 + i\Delta_2} + \left( \frac{\omega_0\tilde{v}}{2c(\Gamma_2 + i\Delta_2)} \right)^2} - \\ &\quad - \frac{\omega_0\tilde{v}}{2c(\Gamma_2 + i\Delta_2)}, \\ Z_2 &= \sqrt{\frac{-i(\omega - \omega_0) + \Gamma_0 + i\Delta_0}{\Gamma_2 + i\Delta_2} + \left( \frac{\omega_0\tilde{v}}{2c(\Gamma_2 + i\Delta_2)} \right)^2} + \\ &\quad + \frac{\omega_0\tilde{v}}{2c(\Gamma_2 + i\Delta_2)}; \end{aligned} \quad (1)$$

$i$  – мнимая единица;  $\omega$  – волновое число;  $c$  – скорость света в вакууме;  $\omega_0$  – частота перехода при отсутствии столкновений с другими молекулами;  $\tilde{v} = \sqrt{2k_B T/m}$  – наиболее вероятная скорость активной молекулы массы  $m$  при температуре  $T$ ;  $k_B$  – постоянная Больцмана;  $w(z) = \exp(-z^2) \operatorname{erfc}(-z)$  – комплексная функция ошибок [5];  $v_{VC}$  – частота столкновений, при которых происходит изменение скорости в модели жестких столкновений [6];  $Y$  – параметр, описывающий интерференцию линий в первом порядке приближения [4];  $\Gamma_0, \Delta_0, \Gamma_2, \Delta_2$  – параметры модели квадратичной зависимости от скорости, ширины  $\Gamma(v)$  и сдвига  $\Delta(v)$  спектральной линии [7, 8]:

$$\Gamma(v) + i\Delta(v) = (\Gamma_0 + i\Delta_0) + (\Gamma_2 + i\Delta_2) \left( \left( \frac{v}{\tilde{v}} \right)^2 - \frac{3}{2} \right). \quad (2)$$

Выбранная модель контура спектральной линии удобна тем, что из нее в предельных случаях можно получить как обычный контур Фойгта [9] при  $Y = v_{VC} = \Gamma_2 = \Delta_2 = 0$ , так и контур Раутиана–Собель-

мана [6] при  $Y = \Gamma_2 = \Delta_2 = 0$ , а также их квадратично зависящие от скорости аналоги [7, 10] и [11]. Для учета интерференции спектральных линий вследствие неупругих столкновений [12] в первом порядке приближения используется параметр  $Y$  [13–16]. Согласно (2),  $Y, v_{VC}, \Gamma_0, \Delta_0, \Gamma_2$  и  $\Delta_2$  линейно зависят от давления, и проверка этого утверждения – одна из целей настоящей работы. Отметим, что линейная зависимость параметров от давления позволяет использовать популярную методику многоспектральной обработки данных (multispectrum fitting procedure [17, 18]).

## Взаимовлияние слабых и сильных линий на примере $R4 \text{ C}^{12}\text{O}_2$ и $P12 \text{ C}^{13}\text{O}_2$

Экспериментальные исследования формы контура изолированных линий поглощения  $\text{CO}_2$  при самоуширении в районе 1,6 мкм при комнатной температуре были проведены на высокочувствительном диодном лазерном спектрометре высокого разрешения с отношением сигнал-шум от 3000 до 7000 в диапазоне давлений от 0,0008 до 0,9 атм;  $S/N > 3000$  позволило зарегистрировать большое количество слабых линий поглощения, которые оказали значительное влияние на восстановленные параметры контуров линий. На рис. 2 приведены спектры поглощения  $\text{CO}_2$  в районе линий  $R2$ – $R6$  полосы 30013 ← 00001 при давлениях 0,110 и 0,621 атм. При подгонке экспериментальных данных по мере роста давления  $P > 0,2$  атм происходит эффект «затягивания» слабой линии ( $P12 \text{ C}^{13}\text{O}_2$ ) под контур сильной ( $R4 \text{ C}^{12}\text{O}_2$ ). Линии начинают сливаться: сдвиг сильной линии замедляется, а слабой ускоряется (рис. 2, *б*). Наблюдается изменение восстановленных интенсивностей (рис. 2, *б*), а при росте давления – существенное влияние на параметры зарегистрированной линии сильных близкорасположенных линий ( $R2 \text{ C}^{12}\text{O}_2$ ) и ( $R6 \text{ C}^{12}\text{O}_2$ ), которые нужно либо включать в подгонку, либо каким-то образом вычитать. Необходимо отметить, что при подгонке спектров параметр, характеризующий фоновое поглощение, не зависит от длины волны и представлен как постоянное смещение.

Для исключения влияния слабых и не попадающих в диапазон измерений сильных линий на основе баз данных HITRAN2008 и HITRAN2016 в среде LabView были смоделированы спектры поглощения в диапазоне 100  $\text{cm}^{-1}$  слева и справа от диапазона измерений. После вычитания смоделированных спектров из экспериментальных мы получили спектры, состоящие из суммы изолированных экспериментальных линий для каждого значения давления  $\text{CO}_2$  (рис. 3).

Параметры линий в базах данных HITRAN2008 и HITRAN2016 представлены для контуров Фойгта, и очевидные ошибки в параметрах (интенсивностях, столкновительном уширение и сдвиге) приведут к увеличению шума и постоянного смещения. Тестирование моделей контура проводилось для такого экспериментального спектра.

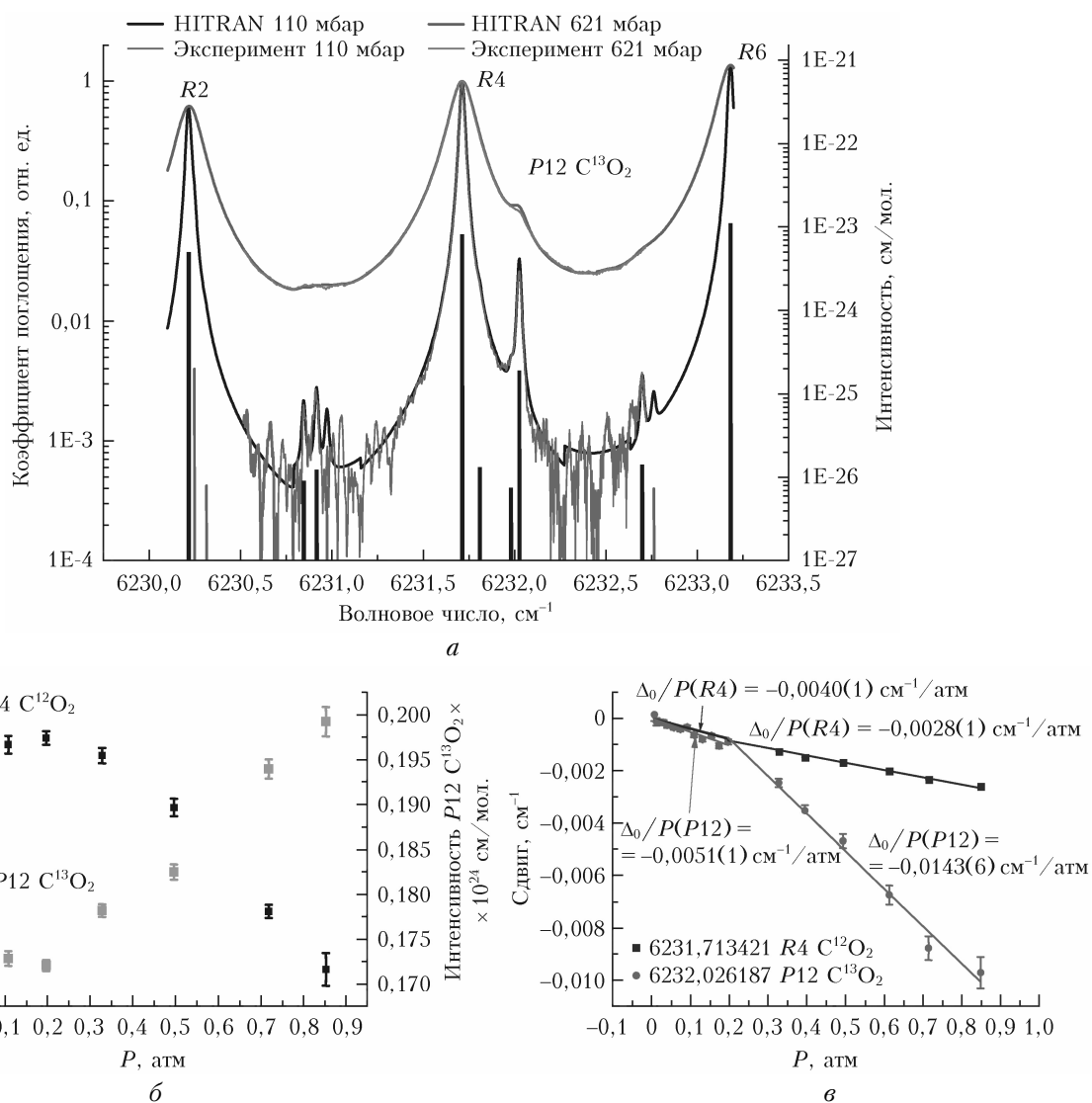


Рис. 2. Спектр поглощения CO<sub>2</sub> при давлениях 0,110 и 0,621 атм (а); интенсивность (б) и столкновительный сдвиг  $\Delta_0$  (в) линий R4 C<sup>12</sup>O<sub>2</sub> и P12 C<sup>13</sup>O<sub>2</sub> (см. цветные рисунки на сайте [iao.ru/gu/content/vol.34-2021/iss.05](http://iao.ru/gu/content/vol.34-2021/iss.05))

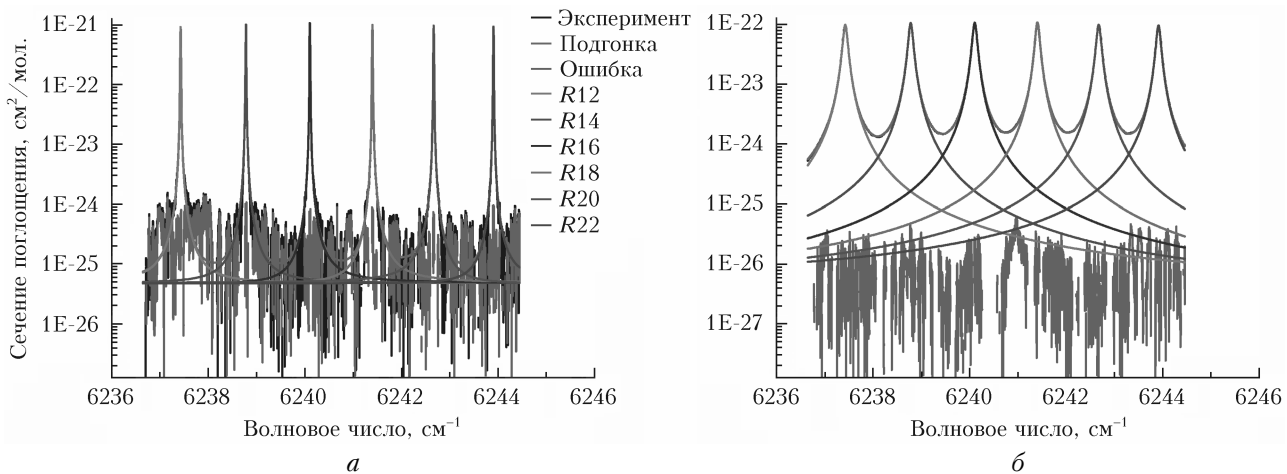


Рис. 3. Спектр поглощения CO<sub>2</sub>: при  $P = 0,023$  атм,  $S/N \sim 3100$  (а);  $P = 0,525$  атм,  $S/N = 6700$  (б) (см. цветные рисунки на сайте [iao.ru/gu/content/vol.34-2021/iss.05](http://iao.ru/gu/content/vol.34-2021/iss.05))

## Анализ зависимости параметров контуров от давления

### Модель контура RP

На рис. 4 представлены зависимости параметра сужения  $v_{VC}$  контура RP от давления CO<sub>2</sub>. Параметр сужения  $v_{VC}$  для контура RP демонстрирует нелинейную зависимость от давления. При  $P > 0,25$  ошибка восстановления  $v_{VC}$  превышает 1000%. Доплеровский режим ( $\omega_D/\Gamma_0 < 1,5$ ,  $\omega_D$  – доплеровская полуширина) ограничен диапазоном давлений 0–0,03 атм, а  $v_{VC}/P \approx v_{VC,diff}^{CO_2-CO_2} = 0,0263 \text{ см}^{-1}/\text{атм}$  совпадает с теоретическим расчетом ( $v_{VC,diff}^{CO_2-CO_2} = \frac{k_B \cdot T}{2\pi c D}$ ;  $D = 1,13E-5 \text{ см}^2 \cdot \text{с}^{-1}$  – коэффициент самодиффузии CO<sub>2</sub> [19]).

### Модель qSDRP

На рис. 5 приведена зависимость параметров контура qSDRP  $\Gamma_0$ ,  $\Gamma_2$ ,  $\Delta_0$ ,  $\Delta_2$  от давления CO<sub>2</sub> на примере линии R20 (наблюдается нелинейная зависимость  $\Gamma_2$ ,  $\Delta_2$  и  $v_{VC}$ ).

Параметры  $\Gamma_2$  и  $v_{VC}$  в контуре qSDRP отвечают за сужение линии поглощения и коррелируют между собой. Это приводит к нелинейной зависимости  $\Gamma_2$ , уменьшению ошибок в подгонке  $v_{VC}$  при средних давлениях и «выпадению» двух точек на рис. 5, г при больших давлениях по сравнению с контуром RP.

Контур НТР содержит также параметр, ответственный за корреляцию между  $v_{VC}$  и  $\Gamma_2$ . Линейность  $\Gamma_2$  при использовании qSDVP свидетельствует о том, что корреляция слаба, а ее коэффициент мал. Для использования контура НТР и определения коэффициента корреляции необходима регистрация спектра с  $S/N \gg 10000$ .

### Модель qSDVP

На рис. 6, а–в приведена зависимость параметров контура qSDVP  $\Gamma_0$ ,  $\Gamma_2$  и  $\Delta_0$  от давления CO<sub>2</sub> на примере линии R20, на рис. 6, г – зависимость параметра  $\Delta_2$  для линий R12–R22. Параметры контура qSDVP  $\Gamma_0$ ,  $\Gamma_2$  и  $\Delta_0$  с высокой вероятностью ( $R^2 \sim 0,999$ ) линейно зависят от давления. Наблюдается нелинейная зависимость  $\Delta_2$  от давления;  $\Delta_2$  для линии R12 положительный.

## Анализ разности между экспериментальным и расчетным спектрами

### Модели VP, qSDVP- $\Delta_2$ , qSDVP, VP + LM, qSDVP- $\Delta_2$ + LM, qSDVP + LM

Разности между экспериментальными и расчетными спектрами для контуров VP, qSDVP- $\Delta_2$  и qSDVP приведена на рис. 7, а. Наблюдаются асимметричный характер разностей, которые значительно превышают уровень шума эксперимента. Включение

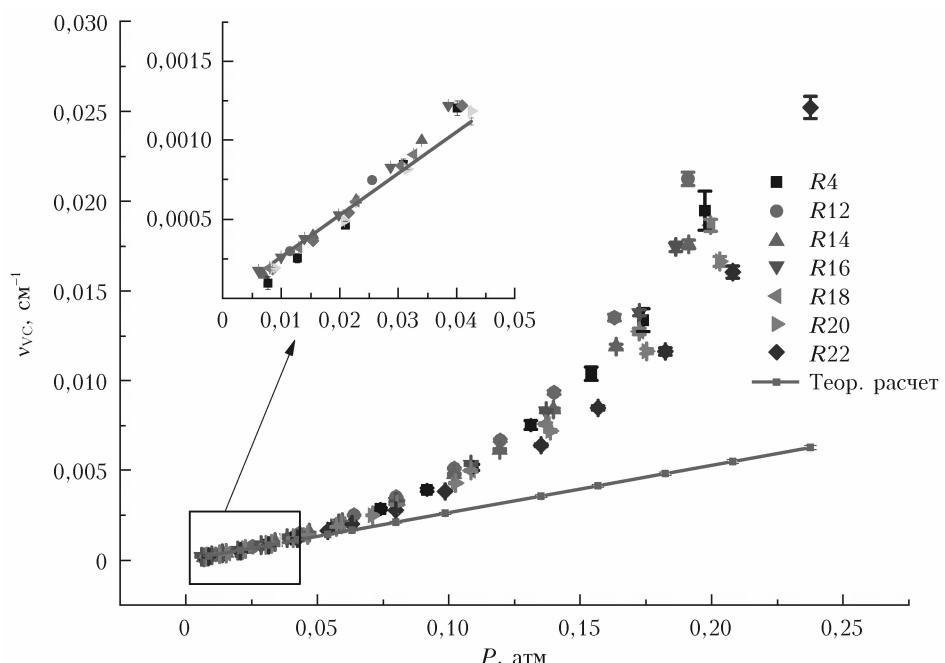


Рис. 4. Зависимость параметра сужения  $v_{VC}$  от давления CO<sub>2</sub>; прямая – теоретический расчет (см. цветные рисунки на сайте [iao.ru/ru/content/vol.34-2021/iss.05](http://iao.ru/ru/content/vol.34-2021/iss.05))

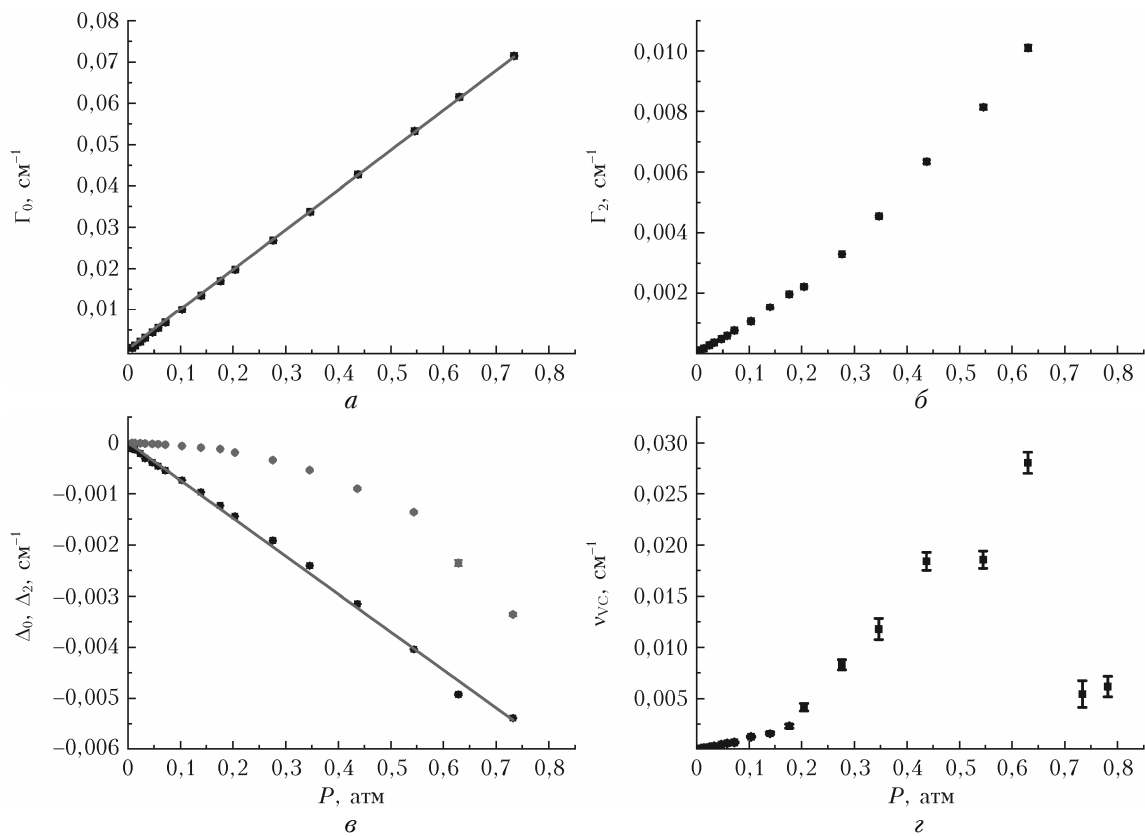


Рис. 5. Зависимость параметров контура qSDRP от давления  $\text{CO}_2$  на примере линии R20: столкновительная ширина  $\Gamma_0$  (а) и  $\Gamma_2$  (б); столкновительный сдвиг  $\Delta_0$  (квадраты) и  $\Delta_2$  (кружки) (с); параметр сужения  $\nu_{VC}$  (д)

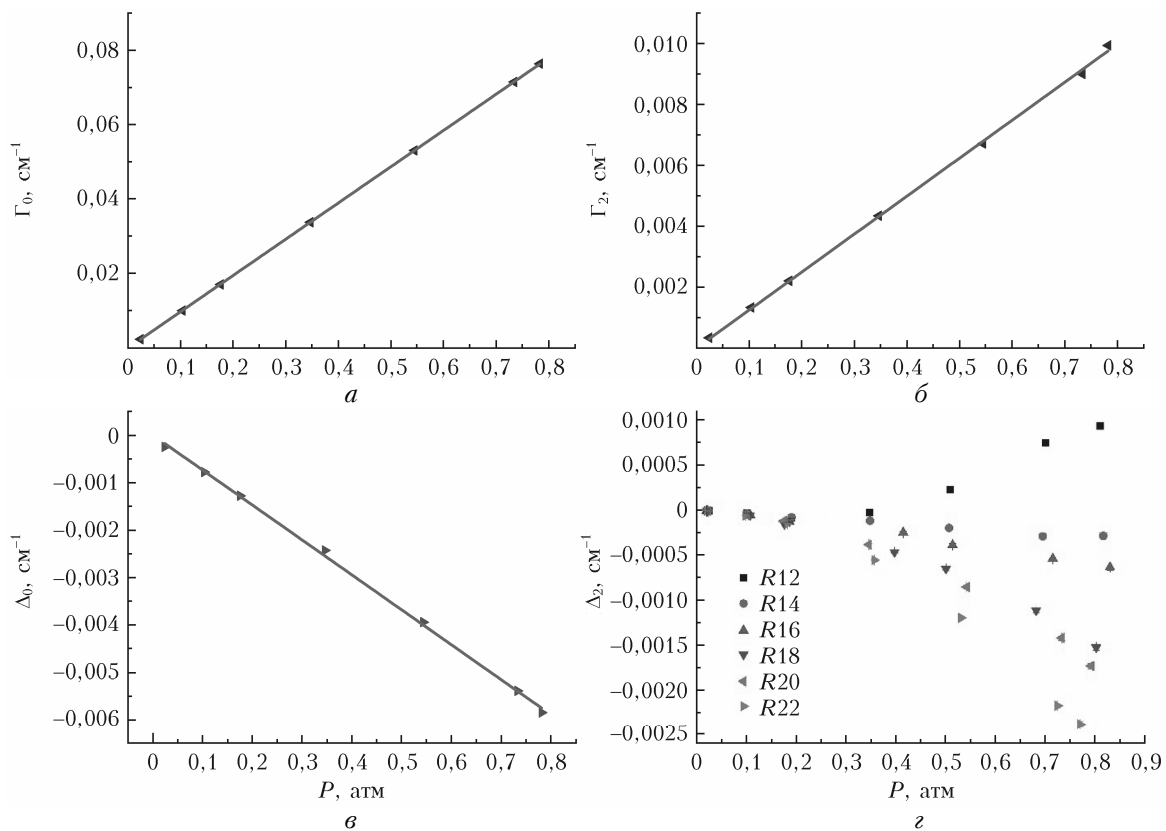


Рис. 6. Зависимость параметров контура qSDVP от давления  $\text{CO}_2$ : столкновительная ширина  $\Gamma_0$  (а) и  $\Gamma_2$  (б) и столкновительный сдвиг  $\Delta_0$  (с) для линии R20; столкновительный сдвиг  $\Delta_2$  для линий R12–R22 (д)

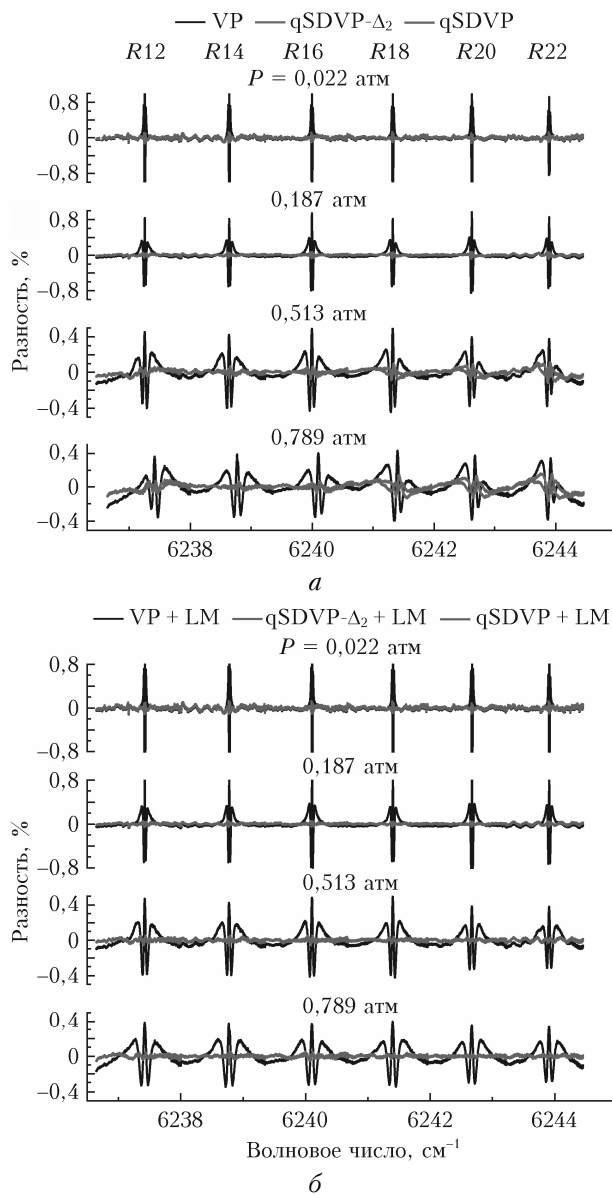


Рис. 7. Разности между экспериментальным и расчетным спектрами (см. цветные рисунки на сайте [iao.ru/ru/content/vol.34-2021/iss.05](http://iao.ru/ru/content/vol.34-2021/iss.05))

в обработку параметра  $\Delta_2$  не приводит к симметричной форме разности, особенно при больших давлениях. В [20–23] показано влияние интерференции линий на разность и подгоняемые параметры для различных молекул. При подгонке линий поглощения  $\text{CO}_2$  включение в модели ( $\text{VP} + \text{LM}$ ,  $\text{qSDVP-}\Delta_2 + \text{LM}$ ,  $\text{qSDVP} + \text{LM}$ ) параметра  $Y$ , описывающего

интерференцию, полностью обеспечивает симметричное поведение разностей (рис. 7, б) для всех тестируемых контуров, включая контур  $\text{VP} + \text{LM}$ .

Параметры  $\Gamma_0$ ,  $\Gamma_2$  и  $\Delta_0$  контуров  $\text{qSDVP-}\Delta_2 + \text{LM}$  и  $\text{qSDVP} + \text{LM}$  с высокой вероятностью ( $R^2 \sim 0,999$ ) линейно зависят от давления. Суммарная погрешность для контура  $\text{qSDVP-}\Delta_2 + \text{LM}$  составляет 0,014%, а благодаря включению в подгонку параметра  $\Delta_2$  она уменьшается до 0,011%. Параметры  $\Delta_2$  и  $Y$  контура  $\text{qSDVP} + \text{LM}$  линейно зависят от давления  $\text{CO}_2$  (рис. 8).

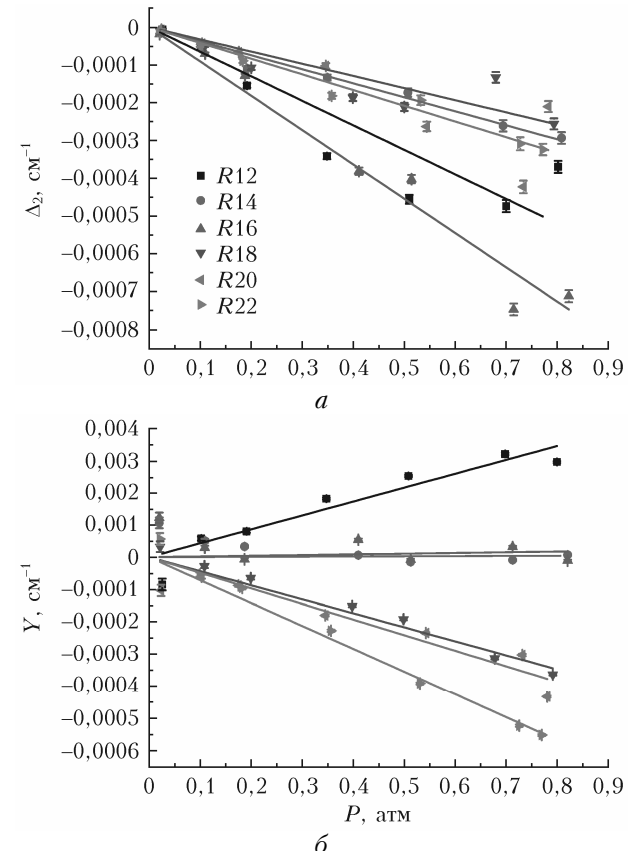


Рис. 8. Зависимости параметров  $\Delta_2$  и  $Y$  контура  $\text{qSDVP} + \text{LM}$  от давления  $\text{CO}_2$  (см. цветные рисунки на сайте [iao.ru/ru/content/vol.34-2021/iss.05](http://iao.ru/ru/content/vol.34-2021/iss.05))

## Сравнение с литературными данными

Сравнение наших результатов с данными [24] показало приемлемое согласие, учитывая спектральное разрешение от 0,008 до 0,009  $\text{cm}^{-1}$  и  $S/N < 500$  (таблица).

### Наши результаты в сравнении с данными [24]

Линия	Интенсивность $\cdot 10^{23}$ , см/мол.		$\Gamma_0/P$ , $\text{cm}^{-1} \cdot \text{атм}^{-1}$		$\Delta_0/P$ , $\text{cm}^{-1} \cdot \text{атм}^{-1}$		$Y$ , $\text{атм}^{-1}$	
	Наша работа	[24]	Наша работа	[24]	Наша работа	[24]	Наша работа	[24]
$R12$	1,6276(2)	1,665(3)	0,10459(6)	0,1063(2)	-0,00531(4)	-0,0051(1)	0,0043(4)	0,0032(2)
$R14$	1,7032(1)	1,701(6)	0,10260(1)	0,1031(4)	-0,00558(5)	-0,0057(1)	0,0005(4)	0,0016(2)
$R16$	1,7355(3)	1,751(8)	0,10098(5)	0,1018(7)	-0,00593(7)	-0,0060(2)	0,0002(4)	0,0002(2)
$R18$	1,7012(2)	1,708(1)	0,09963(6)	0,0995(3)	-0,00603(8)	-0,0063(1)	-0,0043(4)	-0,0010(1)
$R20$	1,6316(2)	1,633(8)	0,09759(6)	0,0983(6)	-0,00641(3)	-0,0064(2)	-0,0048(4)	-0,0023(3)
$R22$	1,5219(2)	1,527(6)	0,09589(5)	0,0962(3)	-0,00650(4)	-0,0071(2)	-0,0071(4)	-0,0033(3)

Необходимо отметить что в [24] отсутствуют данные о параметрах  $\Gamma_2$  и  $\Delta_2$ , хотя используется контур qSDVP.

## Заключение

Совместно с отделом диодной лазерной спектроскопии Института общей физики им. А.М. Прохорова РАН проведены измерения спектров поглощения CO<sub>2</sub> (полоса 30013 ← 00001) в широком диапазоне давлений 0,007–0,9 атм с отношением сигнал-шум от 3000 до 7000. Предложена и реализована математическая модель контура НТР + LM, обобщающая известные non-Voigt эффекты; в среде LabView созданы алгоритм и программа обработки экспериментальных данных, позволяющая производить одновременный анализ до 10 линий поглощения. Проведен анализ влияния попадающих в диапазон измерений слабых линий, а также не попадающих в диапазон сильных линий на восстановленные параметры. Предложен исключающий это влияние алгоритм и реализована программа получения экспериментальных спектров, состоящих из набора изолированных линий. Представлены результаты обработки и спектроскопические параметры контуров VP, RP, qSDVP, qSDRP, qSDVP + LM для шести изолированных линий R12–R22 (полоса 30013 ← 00001). Проанализированы зависимости спектроскопических параметров от давления CO<sub>2</sub> в диапазоне давлений от 0,007 до 0,9 атм.

Показана нелинейная зависимость параметра v<sub>VC</sub> контура RP от давления. Продемонстрировано, что доплеровский режим ограничен диапазоном давлений < 0,03 атм ( $\omega_D/\Gamma_0 < 1,5$ ), а коэффициент  $v_{VC}/P \approx v_{VC\text{diff}}^{\text{CO}_2-\text{CO}_2} = 0,0263 \text{ см}^{-1}/\text{атм}$  соответствует теоретическому расчету  $D = 1,13 \cdot 10^{-5} \text{ см}^2/\text{с}$ .

Показано, что спектроскопические параметры  $\Gamma_2$ , v<sub>VC</sub> и  $\Delta_2$  контура qSDRP нелинейно зависят от давления. Параметры  $\Gamma_0$ ,  $\Gamma_2$  и  $\Delta_0$  контура qSDVP с высокой вероятностью ( $R^2 \sim 0,999$ ) линейно зависят от давления. Наблюдается нелинейная зависимость параметра  $\Delta_2$  от давления;  $\Delta_2$  для линии R12 положительный. Анализ показал наличие также асимметричного характера разностей между модельным и экспериментальным спектрами (даже для контура VP), которые значительно превышают уровень шумов экспериментов. Использование параметра  $\Delta_2$  не отменяет асимметричное поведение разностей.

Включение в модели параметра Y, описывающего интерференцию линий, обеспечивает линейную зависимость спектроскопических параметров и симметричное поведение разностей, в том числе и для контура VP.

Сравнение наших результатов с данными [24] показало приемлемое согласие, учитывая спектральное разрешение от 0,008 до 0,009 cm<sup>-1</sup> и S/N < 500, а также отсутствие в [24] параметров  $\Gamma_2$  и  $\Delta_2$  в подгоняемой модели.

Выбор модели контура изолированной линии для описания экспериментальных спектров CO<sub>2</sub> в основном определяется отношением сигнал-шум,

с его увеличением для моделирования спектров приходится использовать все более сложные модели.

Модели контура qSDVP- $\Delta_2$  + LM и qSDVP + + LM описывают спектры CO<sub>2</sub> при S/N ≈ 7000 с экспериментальной точностью.

Работа выполнена в рамках государственного задания ИОА.

1. Петрова Т.М., Солодов А.М., Щербаков А.П., Дейчули В.М., Солодов А.А., Пономарев Ю.Н. Сравнение моделей контура для описания линий поглощения молекулы воды // Оптика атмосф. и океана. 2021. Т. 34, № 3. С. 159–163.
2. Hartmann J.-M., Tran H., Armante R., Boulet C., Campargue A., Forget F., Gianfrani L., Gordon I., Guerlet S., Gustafsson M., Hodges J.T., Kassi S., Lisak D., Thibault F., Toon G.C. Recent advances in collisional effects on spectra of molecular gases and their practical consequences. // J. Quant. Spectrosc. Radiat. Transfer. 2018. V. 213. P. 178–227.
3. Ngo N.H., Lisak D., Tran H., Hartmann J.-M. An isolated line-shape model to go beyond the Voigt profile in spectroscopic databases and radiative transfer codes // J. Quant. Spectrosc. Radiat. Transfer. 2013. V. 129. P. 89–100.
4. Rosenkranz P. Shape of the 5 mm oxygen band in the atmosphere // IEEE Trans. Antennas. Propag. 1975. V. 23. P. 498–506.
5. Фадеева В.Н., Терентьев Н.М. Таблицы значений интеграла вероятностей от комплексного аргумента. М.: Гостехиздат, 1954. 268 с.
6. Раутман С.Г., Собельман И.И. Влияние столкновений на доплеровское уширение спектральных линий // Успехи физ. науки. 1966. Т. 90. С. 209–236.
7. Rohart F., Mader H., Nikolaisen H.-W. Speed dependence of rotational relaxation induced by foreign gas collisions: Studies on CH<sub>3</sub>F by millimeter wave coherent transients // J. Chem. Phys. 1994. V. 101. P. 6475–6486.
8. Roharf F., Ellendt A., Kaghat F., Mäder H. Self and polar foreign gas line broadening and frequency shifting of CH<sub>3</sub>F: Effect of the speed dependence observed by millimeter-wave coherent transients // J. Mol. Spectrosc. 1997. V. 185. P. 222–233.
9. Voigt W. Über das gesetz intensitätsverteilung innerhalb der linien eines gasspektrums. München: Sitzber. Bayr. Akad., 1912. 603 p.
10. Boone C.D., Walker K.A., Bernath P.F. Speed-dependent Voigt profile for water vapor in infrared remote sensing applications // J. Quant. Spectrosc. Radiat. Transfer. 2007. V. 105. P. 525–532.
11. Lisak D., Havey D.K., Hodges J.T. Spectroscopic line parameters of water vapor for rotation-vibration transitions near 7180 cm<sup>-1</sup> // Phys. Rev. A. 2009. V. 79. P. 052507-1–052507-10.
12. Levy A., Lacome N., Chackerian Jr.C. Collisional line mixing / Rao K. Narahari, A. Weber (eds.). Spectroscopy of the Earth's Atmosphere and Interstellar Medium. Boston, MA: Academic Press, 1992. P. 261–337.
13. Pine A.S. Asymmetries and correlations in speed-dependent Dicke-narrowed line-shapes of argon broadened HF // J. Quant. Spectrosc. Radiat. Transfer. 1999. V. 62. P. 397–423.
14. Ciurylo R., Pine A.S., Szudy J. A generalized speed-dependent line profile combining soft and hard partially correlated Dicke-narrowing collisions // J. Quant. Spectrosc. Radiat. Transfer. 2001. V. 68. P. 257–271.

15. Ciurylo R., Pine A.S. Speed-dependent line mixing profiles // J. Quant. Spectrosc. Radiat. Transfer. 2000. V. 67. P. 375–393.
16. De Vizia M.D., Castrillo A., Fasci E., Amodio P., Moretti L., Gianfrani L. Experimental test of the quadratic approximation in the partially correlated speed-dependent hard-collision profile // Phys. Rev. A. 2014. V. 90. P. 022503-1–7.
17. Benner D.C., Rinsland C.P., Devi V.M., Smith M.A.H., Atkins D. A multispectrum nonlinear squares fitting technique // J. Quant. Spectrosc. Radiat. Transfer. 1995. V. 53, N 6. P. 705–721.
18. Jacquemart J.-Y., Mandin V., Dana N., Picque, Guelachvili G. A multispectrum fitting procedure to deduce molecular line parameters: Application to the 3–0 band of  $^{12}\text{C}^{16}\text{O}$  // Eur. Phys. J. 2001. V. 14. P. 55–69.
19. Winn E.B. The temperature dependence of the self-diffusion coefficients of argon, neon, nitrogen, oxygen, carbon dioxide, and methane // Phys. Rev. 1950. V. 80, N 6. P. 1024–1027.
20. Hadded S., Thibault F., Flaud P.M., Aroui H., Hartmann J.M. Experimental and theoretical study of line mixing in  $\text{NH}_3$  spectra. I. Scaling analysis of parallel bands perturbed by He // J. Chem. Phys. 2002. V. 116. P. 7544–7557.
21. Hadded S., Thibault F., Flaud P.M., Aroui H., Hartmann J.M. Experimental and theoretical study of line mixing in  $\text{NH}_3$  spectra. II. Effect of the perturber in infrared parallel bands // J. Chem. Phys. 2004. V. 120. P. 217–222.
22. Hartmann J.M., Tran H., Toon G.C. Influence of line mixing on the retrievals of atmospheric  $\text{CO}_2$  from spectra in the 1.6 and 2.1  $\mu\text{m}$  regions // Atmos. Chem. Phys. 2009. V. 9. P. 7303–7312.
23. Tran H., Hartmann J.M., Toon G.C., Broun L.R., Frankenberg C., Warneke T., Spietz P., Hase F. The  $2\nu_3$  band of  $\text{CH}_4$  revisited with line mixing. Consequences for spectroscopy and atmospheric retrievals at 1.67  $\mu\text{m}$  // J. Quant. Spectrosc. Radiat. Transfer. 2010. V. 111. P. 1344–1356.
24. Predoi-Cross A., Unni A.V., Liu W., Schofield I., Hollanday C., McKellar A.R.W., Hurtmans D. Line shape parameters measurement and computations for self-broadened carbon dioxide transitions in the  $30012 \leftarrow 00001$  and  $30013 \leftarrow 00001$  bands, line mixing, and speed dependence // J. Mol. Spectrosc. 2007. V. 245. P. 34–51.

**V.A. Kapitanov, K.Yu. Osipov, A.E. Protasevich, Yu.N. Ponomarev, Ya.Ya. Ponurovskii. Dicke narrowing, speed dependence, and line mixing of self-broadened  $\text{CO}_2$  absorption lines in the  $30013 \leftarrow 00001$  band. Measurements and line shape testing.**

Experimental results are presented for self-broadening and shift of six isolated absorption lines of  $\text{CO}_2$  versus pressure in the 1.6  $\mu\text{m}$  spectral range at a room temperature. The measurements were carried out at a high-sensitivity high-resolution diode laser spectrometer with a signal-to-noise ratio of 3000 to 7000. To describe the experimental spectra, five theoretical line profile models VP, RP, qSDRP, qSDVP, and qSDVP + LM were used. A strong influence of weak closely spaced lines on the parameters retrieved (intensity and collisional broadening coefficient) of strong lines was found, as well as nonlinear pressure dependence of narrowing parameter for RP and qSDRP line profile models. The linear pressure dependence of the parameters retrieved for qSDVP + LM line profile is shown in the range from 0.001 to 1 atm.